WIPOIPCT

КООПЕРАЦИИ

ДОГОВОРОМ Организация й Собственности

Межд унаро дное бюро

(PCT)

(10) Номер международной публикации WO 2016/039662 A 1

(43) Дата международной публикации 17 марта **2016** (17.03.2016)

(51) Международная классификация патентная B01J13/00 (2006.01) B22F 1/00 (2006.01) B82B 3/00 (2006.01) C09K 11/54 (2006.01) B82Y 40/00 (201 1.01) C09K 11/56 (2006.01) C07B 57/00 (2006.01) C09K 11/88 (2006.01) C07B 61/00 (2006.01)

заявки : PCT/RU2015/000013 (21) Номер международной

(22) Дата международной подачи:

16 января 2015 (16.01.2015)

(25) Язык Русский подачи:

(26) Язык публикации : Русский

(30) Данные о приоритете: 2014 137082 12 сентября 2014 (12.09.2014) RU

(71) Заявитель : ГОСУДАРСТВЕННОЕ ОБРАЗОВАТЕЛЬНОЕ ОБРАЗОВАНИЯ НАЦИОНАЛЬНЫЙ **УНИВЕРСИТЕТ** ТЕХНОЛОГИЙ (УНИВЕРСИТЕТ

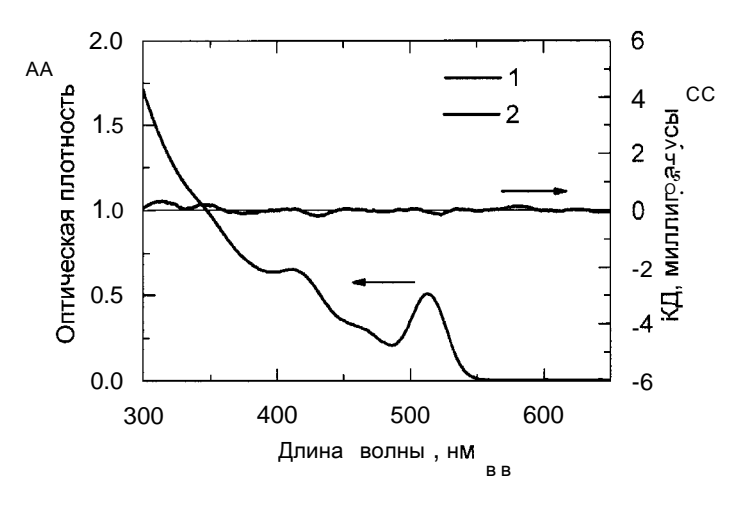
ФЕДЕРАЛЬНОЕ **ABTOHOMHOE** УЧРЕЖДЕНИЕ **ВЫСШЕГО** "САНКТ -ПЕТЕРБУРГСКИЙ ИССЛЕДОВАТЕЛЬСКИЙ ИНФОРМАЦИОННЫХ МЕХАНИКИ И ОПТИКИ ИТМО) (SAINT-PETERSBURG NATIONAL RESEARCH UNIVERSITY OF IN-FORMATION TECHNOLOGIES, MECHANICS AND UNIVERSITY)) [RU/RU]; (ITMO пр., 49, Санкт -Петербург, 197101, St.-Кронверкский Petersburg (RU).

Изобретатели : БАРАНОВ , Александр Васильевич (BARANOV, Aleksandr Vasilyevich); Будапештская , 14, кв. 66, Санкт -Петербург , 192238, St.-Petersburg (RU). ГУНЬКО , Юрий Кузьмич (GUNKO, Yury Kuzmich); Линкс , 130, Донабейт , Со. Дублин , Dublin (IE). маслов , Григорьевич (MASLOV, Vladimir Grigoryevich); Большой пр., ПС, 31, кв. 76, Санкт -Петербург , 197198, St.Petersburg (RU). МУХИНА , Мария Викторовна (MUKHINA, Marya Viktorovna); ул. Тенишевой, 31, кв. 27, г. Смоленск, 214014, g. Smolensk (RU). ОРЛОВА, Анна Олеговна (ORLOVA, Anna Olegovna); ул. Мира, 10, кв. 34, Санкт -Петербург, 197101, ФЕДОРОВ , St.Petersburg (RU). Анатолий (FEDOROV, Anatoly Valentino vich); Вапентинович ул. 5-я Красноармейская , 17, кв. 10, Санкт -Петербург , 198052, St.Petersburg (RU).

[продолжение на следующей странице]

(54) Title: METHOD FOR PHASE TRANSFER OF INORGANIC COLLOID SEMICONDUCTOR NANOCRYSTALS

ПЕРЕНОСА Название изобретения : СПОСОБ **МЕЖФАЗНОГО** НЕОРГАНИЧЕСКИХ коллоидных ПОЛУПРОВОДНИКОВЫХ НАНОКРИСТАЛЛОВ



ФИГ . 1.

AA: Optical density BB: Wavelength, nm CC: kD, millidegrees

of inorganic colloid semiconductor nanocrystals relates to the field of nanotechnology, and specifically to the enantioselective phase transfer of hydrophobic inorganic nanocrystals from an organic phase to an aqueous phase. The invention may be used in the field of nanotechnology, chemistry, biology and medicine, for instance for visualization and diagnostic purposes. The method is based upon the phase transfer of hydrophobic semiconductor nanocrystals from an organic phase to an aqueous phase, with the use of a phase transfer catalyst in the form of enantiomers of a chiral molecule, which, within a surrounding-environment temperature range of form complexes with 0-4C, predominantly nanocrystals which exhibit the same type of chirality. As a result of the given stereoselective complexation from a hydrophobic phase to an aqueous phase, a transfer occurs for nanocrystals which exhibit the same type of chirality as the utilized enantiomers of the phase transfer catalyst. The present invention thus solves the

(57) Abstract: A method for the phase transfer

problem of enantioselective phase transfer and of separating enantiomers of inorganic colloid semiconductor nanocrys tals.

(57) Реферат:

- (81) Указанные государства (если не указано иначе, для каждого вида национальной охраны): A E, AG, AL, AM, A O, AT, AU, AZ, B A, BB, BG, BH, BN, BR, BW, BY, BZ, CA, CH, CL, CN, CO, CR, CU, CZ, DE, DK, DM, DO, DZ, EC, EE, EG, ES, FI, GB, GD, GE, GH, GM, GT, HN, HR, HU, ID, IL, IN, IR, IS, JP, KE, KG, KN, KP, KR, KZ, LA, LC, LK, LR, LS, LU, LY, MA, MD, ME, MG, MK, MN, MW, MX, MY, MZ, NA, NG, NI, NO, NZ, OM, PA, PE, PG, PH, PL, PT, QA, RO, RS, RU, RW, SA, SC, SD, SE, SG, SK, SL, SM, ST, SV, SY, TH, TJ, TM, TN, TR, TT, TZ, UA, UG, US, UZ, VC, VN, ZA, ZM, ZW.
- (84) Указанные государства (если не указано иначе, для каждого вида региональной охраны): ARIPO (BW, GH, GM, KE, LR, LS, MW, MZ, NA, RW, SD, SL, ST, SZ, TZ, UG, ZM, ZW), евразийский (AM, AZ, BY, KG, KZ, RU, TJ, TM), европейский патент (AL, AT, BE,
- BG, CH, CY, CZ, DE, DK, EE, ES, FI, FR, GB, GR, HR, HU, IE, IS, IT, LT, LU, LV, MC, MK, MT, NL, NO, PL, PT, RO, RS, SE, SI, SK, SM, TR), OAPI (BF, BJ, CF, CG, CI, CM, GA, GN, GQ, GW, KM, ML, MR, NE, SN, TD, TG).

Декларации в соответствии с правилом 4.17:

- касающаяся права заявителя надавать заявку на патент и получать его (правило $4.17\ (ii)$)
- касающаяся права испрашивать приоритет предшествующей заявки (правило $4.17\,\mathrm{(rrr)})$
- об авторстве изобретения (правило 4.17~(iv))

Опубликована :

- с отчётом о международном поиске (статья 21.3)

Способ межфазного переноса неорганических коллоидных полупроводниковых нанокристаллов относится области нанотехнологий , в частности к энантиоселективному фазовому переносу гидрофобных нанокристаллов из органической в водную фазу. Изобретение может быть использовано в области нанотехнологий , химии , биологии и медицине , например , в целях визуализации и диагностики Способ основан на межфазном переносе гидрофобных полупроводниковых нанокристаллов из органической в водную фазу с использованием в качестве катализатора межфазного переноса энантиомеров молекулы, которые при температуре окружающей среды в промежутке 0-4С преимущественно комплексы с полупроводниковыми нанокристаллами , обладающими тем ж е типом собственной хиральности . В результате данного стереоселективного комплексообразования из гидрофобной фазы в водную фазу переносят полупроводниковые нанокристаллы , которые имеют тот жетип хиральности , что и используемые энантиомеры межфазного катализатора . Таким образом , решается задача энантиоселективного нанокристаллов . переноса и разделения энантиомеров неорганических коллоидных полупроводниковых

1

СПОСОБ МЕЖФАЗНОГО ПЕРЕНОСА НЕОРГАНИЧЕСКИХ КОЛЛОИДНЫХ ПОЛУПРОВОДНИКОВЫХ НАНОКРИСТАЛЛОВ

Область техники

5 Изобретение относится к области нанотехнологий , в частности к энантиоселективному межфазному переносу гидрофобных неорганических нанокристаллов из органического растворителя в водную фазу. Изобретение может быть использовано в области нанотехнологий , химии , биологии и медицине , например , для визуализации и диагностики .

10

Предшествующий уровень техники

Известен обширный класс органических хиральных молекул, которые могут существовать в двух энантиомерных формах, полностью составу, идентичных пο химическому ΗО имеющих зеркально 15 конфигурацию симметричную пространственную что делает невозможным ИΧ пространственное совмещение друг С другом . Энантиомеры обладают оптической активностью , т.е. способны вращать плоскость поляризации линейно поляризованного света противоположных направлениях (лево и право вращающие энантиомеры , 20 L- и D- соответственно). О наличие оптической активности молекул свидетельствует появление спектре (КД) В кругового дихроизма ненулевого сигнала.

наноматериалов собственной В области хиральностью обладают нанотрубки , фотоэлектрические свойства которых напрямую 25 зависят от их оптической активности (Stephanie Reich, Lan Li, and John Robertson. Control the chirality of carbon nanotubes by epitaxial growth. Chem. Phys. Lett., 421(4):469- 472, 2006). Недавно также были получены сведения о наличие собственной хиральности металлических (Igor наночастиц Stefan Knoppe, Amala Dass, and Thomas B'urgi. Dolamic. First 30 enantioseparation and circular dichroism spectra of au38 clusters protected by

2

achiral ligands. Nat. Commun., 3:798, 2012).

В случае полупроводниковых нанокристаллов , в частности квантовых точек (KT), B литературе есть сведения 0 наличие хиральности КТ, которая индуцированной возникает в процессе 5 синтеза при условии использования коллоидного хиральных молекул в качестве солюбилизатора КТ. Известен «Способ синтеза хиральных CdTe C09K 11/88, квантовых точек » (Патент КНР ме CN10291 1669 A, МПК заявка CN 201 110217909, дата приоритета 01.08.201 1, дата публикации 06.02.2013), в котором в процессе водного коллоидного синтеза в качестве 10 солюбилизатора поверхности использовался энантиомер цистеина . патента продемонстрировано , что синтезированные согласно данному способу CdTe КT, обладают оптической активностью в области цистеина (200-300 нм), при этом отсутствуют поглошения какие -либо данные, подтверждающие наличие оптической активности в области 15 KT (300-550 нм). В связи с этим этот фундаментального поглощения способ не может рассматриваться как способ получения коллоидных КТ с хиральностью . Известна работа (S. D. Elliott, M. P. индуцированной Moloney, Y. K. Gunko: Chiral Shells and Achiral Cores in CdS Quantum Dots 8(8), рр. 2452-2457), в которой Lett., 2008, авторами 20 продемонстрировано , что водный синтез CdTe ΚТ участием энантиомеров пеницилламина позволяет получить водорастворимые индуцированной хиральностью , которые демонстрируют оптическую активность в области их собственного поглощения . Существенным недостатком данного подхода является полная потеря КТ экситонной 25 люминесценции , что служит серьезным препятствием для применения хиральных квантовых точек в качестве стереоселективных данных люминесцентных наночастиц . Другой способ получения коллоидных хиральностью , описан в работе (U. Tohgha, обладающих индуцированной K. K. Deol, A. G. Porter, S. G. Bartko, J. K. Choi, B. M. Leonard, K. Varga, J. 30 Kubelka, G. Muller, M. Balaz: Ligand Induced Circular Dichroism and

Circularly Polarized Luminescence in CdSe Quantum Dots//ACS nano, 2013, 7(12), рр. 11094-1 1102). В данной работе используется межфазовый перенос гидрофобных CdSe/ZnS из органического растворителя в водную фазу за счет замещения молекул солюбилизатора на поверхности ΚТ цистеина . В результате такого хиральными молекулами межфазового переноса КТ появляется индуцированная цистеином оптическая активность в области их собственного поглощения , при этом сохраняется люминесценция КТ. Применение экситонная данного способа также позволяет получить КТ с индуцированной хиральностью, однако, как и в предыдущем случае, используемый авторами способ межфазового переноса КТ не предусматривает стереоспецифического взаимодействия КТ и хиральных молекул солюбилизатора .

форм частиц,

5

10

Проблема выделения одной из энантиомерных обладающих собственно хиральностью , актуальна случае как 15 органических молекул , так и в случае наноструктурированных материалов . В случае синтеза молекул и, особенно, молекул, хиральных использующихся в фармацевтических целях, остро СТОИТ проблема (рацемической разделения исходной смеси энантиомеров смеси) на фракции, содержащие одну из энантиомерных форм. Известен «Метод 20 межфазового переноса », основанный на стереоспецифической хирального реакции между одним из энантиомеров рацемической химической смеси и хиральной молекулой селектора, при этом фазовый перенос осуществляет межфазового в присутствие катализатора переноса (Патент США No US20030097002 А 1, МПК C07B 53/00, заявка US 10/144,274, дата 25 11.05.2001, дата публикации 22.05.2003). Существенным приоритета недостатком данного способа является то, что данный способ выделения одной из энантиомерных форм молекулы предусматривает химическую реакцию, в результате которой в водную фазу ассиметричную переходит не исходный энантиомер молекулы, а химическое соединение, 30 полученное в результате стереоспецифической химической реакции с ним.

4

Также следует отметить , что описанный способ применим К гидрофобным полупроводниковым квантовым точкам квантовым или стержням, поскольку для осуществления фазового переноса необходимо образование ионной пары энантиомер хиральной молекулы - селектор .

- 5 В случае углеродных нанотрубок , как правило , также синтеза получается смесь из нанотрубок , которые обладают принципиально разной оптической активностью . Поскольку степень оптической активности электрофизические напрямую определяет свойства углеродных нанотрубок , то требуется разделение нанотрубок по степени оптической 10 "Разделения активности . Известен способ нанотрубок на хирально фракции " (Патент № 2012/0160366 США А 1. МПК обогащенные B01D21/26, D01F9/12, заявка U S 12/150,813, дата приоритета 30.04.2008. 10.04.2012) в котором дата публикации используется один из методов колоночной хроматографии . Следует отметить , что в случае углеродных 15 нанотрубок на ИΧ электрофизические свойства влияет величина оптической активности , а не ее знак . Поэтому все используемые для разделения углеродных нанотрубок способы не позволяют провести ИΧ разделение знаку оптической активности , т.е. не подходят ПΟ для разделения смеси полупроводниковых нанокристаллов
- 20 близок к заявляемому изобретению и принят в качестве Наиболее прототипа метод межфазового переноса неорганических наночастиц из фазы в водную с использованием органической амфифильных молекул солюбилизатора наночастиц , которые одновременно выступают в качестве катализатора межфазного переноса «Межфазовый перенос наночастиц » 25 (Патент США _{JY«} U s 2006/0084705 A 1, МПК В01J35/02, заявка 10/432,942, дата приоритета 24.1 1.2000, дата публикации 20.04.2006). В данном изобретении межфазный перенос наночастиц из органической фазы в осуществляется водную путем связывания амфифильных молекул катализатора межфазного переноса С поверхностью наночастиц В 30 органической фазе и последующий перенос данных частиц в водную фазу.

5

Прототип имеет следующие недостатки :

- стереоспецифичность взаимодействия Отсутствует между ахиральным катализатором межфазного переноса и энантиомерами нанокристаллов . Это делает невозможным разделение смеси фракции , обогащенные нанокристаллов на определенным типов энантиомеров .
- 2. Высокая концентрация молекул катализатора межфазного переноса, которая достигает 100 весовых %, приводит к межфазному переносу практически всех наночастиц из органической фазы в водную . Это обстоятельство также не позволяет выделить энантиомеры наночастиц из их смеси .
 - 3. Низкая скорость межфазового переноса наночастиц из фазу, которое гидрофобной в водную достигает 60 минут . Данное обстоятельство отрицательно сказывается на люминесцентных свойствах наночастиц, перешедших в водную фазу.

Сущность изобретения

5

10

15

Задачей данного изобретения является обеспечение энантиоселективного межфазного переноса неорганических коллоидных 20 полупроводниковых нанокристаллов .

Поставленная задача достигается тем, что полупроводниковые нанокристаллы переносят из органической В водную фазу, не смешивающуюся с органической фазой, с помощью катализатора межфазного переноса.

25 В ходе проводимых нами исследований по влиянию условий синтеза и межфазового переноса полупроводниковых квантовых точек на их оптическую активность было установлено , результате что высокотемпературного металлоорганического синтеза полупроводниковых квантовых точек и квантовых стержней получается смесь нанокристаллов 30 которая содержит нанокристаллы , обладающие противоположной

6

оптической Данная смесь активностью . не проявляет признаков активности , т.е. является ахиральной . При определенных оптической условиях межфазного переноса данных нанокристаллов из органической водную , а именно в условиях пониженной фазы в температуры 5 среды (0 - 4 °C) и низкой концентрации окружающей хиральных молекул , в водной фазе оказывается часть нанокристаллов из исходной смеси, ΚД которые проявляют оптическую активность . Спектр этих нанокристаллов по знаку совпадает со спектром КД, используемого при фазовом переносе энантиомера . У оставшейся в гидрофобной фазе части 10 нанокристаллов , в спектре КД появляется сигнал , противоположный пο знаку сигналу КД у нанокристаллов в водной фазе. Это свидетельствует 0 наличие у полупроводниковых нанокристаллов собственной хиральности

Сущность предполагаемого изобретения заключается в том, что в качестве катализатора межфазного переноса неорганических коллоидных полупроводниковых нанокристаллов используются энантиомеры молекул , которые при температуре окружающей хиральных среды В 0-4 $^{\circ}$ C преимущественно образуют пределах комплексы С полупроводниковыми нанокристаллами , обладающими же типом тем собственной хиральности . В результате данного стереоселективного комплексообразования из гидрофобной фазы в водную фазу переносятся полупроводниковые нанокристаллы , которые имеют же тип TOT хиральности , что и используемые энантиомеры межфазного катализатора . гидрофобной остаются При этом фазе полупроводниковые с противоположным типом хиральности нанокристаллы

15

- 25 Предлагаемый способ межфазного переноса коллоидных неорганических полупроводниковых нанокристаллов имеет следующие преимущества :
- Получение 1) коллоидных водорастворимых неорганических полупроводниковых нанокристаллов проявляющих оптическую 30 области активность ИΧ фундаментального поглощения . Данное

7

преимущество реализуется за счет использования хиральных молекул в качестве катализатора межфазного переноса .

- 2) Межфазное разделение энантиомеров полупроводниковых нанокристаллов . Данное преимущество достигается за счет стереоселективного комплексообразования энантиомера катализатора межфазового переноса с полупроводниковыми нанокристаллами , которые имеют тот же тип хиральности, что и энантиомер катализатора межфазового переноса.
- 3) Возможность осуществления разделения нанокристаллов 10 различной хиральности при низкой температуре .
 - 4) Высокая скорость межфазного переноса нанокристаллов (порядка 1-2 минут).

Краткое описание фигур чертежей

5

- 15 Сущность предполагаемого изобретения поясняется на фигурах 1-8, на которых представлены :
 - Фиг . 1. Спектры поглощения (1) и КД (2) исходной смеси гидрофобных полупроводниковых квантовых точек CdSe/ZnS.
- Фиг .2. Схематичное изображение энантиоселективного 20 межфазового переноса коллоидных полупроводниковых нанокристаллов .
 - Фиг .3. Результаты энантиоселективного межфазного переноса CdSe/ZnS К T из хлороформа в водный раствор . Спектры поглощения и К Д водного раствора CdSe/ZnS К T (1) и спектры поглощения и К Д CdSe/ZnS К T в хлороформе , оставшихся после проведения энантиоселективного переноса (2).
 - Фиг .4. Спектры поглощения и К Д водного раствора CdSe/ZnS К Т , полученных в результате энантиоселективного межфазного переноса с использованием D-цистеина (1) и L -цистеина (2).
- Фиг .5. Спектры поглощения и КД раствора CdSe/ZnS КТ в 30 хлороформе , полученных в результате энантиоселективного межфазного

8

Фиг .6. Спектры поглощения и КД водных растворов CdSe/ZnS КT, полученных в результате энантиоселективного (1) и стандартного (2) межфазного переноса КТ из хлороформа в водный раствор .

5 Фиг .7. Спектры поглощения и КД исходной смеси гидрофобных полупроводниковых квантовых стержней CdSe/ZnS.

Фиг .8. Результаты энантиоселективного межфазного переноса CdSe/ZnS К С из хлороформа в водный раствор . Спектры поглощения и К Д водного раствора CdSe/ZnS К С (1) и спектры поглощения и К Д CdSe/ZnS К С в хлороформе , оставшихся после проведения энантиоселективного переноса (2).

Осуществление изобретения

Пример 1.

10

- 15 Для демонстрации работоспособности предполагаемого изобретения проведен был энантиоселективный межфазный перенос полупроводниковых коллоидных квантовых точек CdSe/ZnS, синтезированных методом, описанным в работе (M. Artemyev, B. Moller, and U. Woggon. Unidirectional alignment of cdse nanorods. Nano Lett., 20 3(4):509—512, 2003) С использованием ахиральных молекул солюбилизатора триоктилфосфин оксида (ТОРО). Квантовые точки имели размер ядра 2.5 нм, максимум длины волны люминесценции нанокристаллов находился около 520 нм, полоса фундаментального поглощения около 515 нм.
- 25 На Фиг 1 приведены спектр поглощения (1) коллоидного раствора КТ в хлороформе и спектр КД (2). Отсутствие сигнала КД в области собственного поглощения КТ свидетельствует о том, что данный ансамбль КТ не проявляет оптической активности , т.е. является ахиральным .

На Фиг .2 схематично изображены этапы энантиоселективного 30 межфазного переноса неорганических коллоидных полупроводниковых

9

с участием нанокристаллов хирального катализатора межфазного переноса . На первом этапе раствор КТ в хлороформе охлаждался до 4 $^{\circ}$ С и к нему добавлялся 5 об. % раствора в воде температуры межфазного переноса, который энантиомера катализатора начинает 5 замещать на поверхности КТ молекулы исходного солюбилизатора (ТОРО). На втором этапе раствор перемешивался на половину объема и на 1-2 минуту . На третьем этапе к раствору хлороформа добавлялся такой ж е объем щелочного раствора с р $\mathsf{H} = 10 - 1 \; 1$ и двухфазная смесь интенсивно встряхивалась до образования эмульсии и оставлялась 10 на 1-2 мин до полного разделения гидрофобной и гидрофильной После завершения процесса межфазного переноса в воде оказывалась энантиообогащенная фракция нанокристаллов , покрытых хиральным катализатором межфазного переноса.

Для проведения энантиоселективного межфазного переноса 15 CdSe/ZnS К Т 15 мг нанокристаллов растворялись в 750 мкл хлороформа. Раствор охлаждался в течение 15 мин при 4 °C. После этого к раствору 5 об. % раствора D- или L-цистеина нанокристаллов добавлялось метаноле (8 мг цистеина на 300 мкл метанола). На Фиг .3 приведены и КД водных растворов CdSe/ZnS КT, перенесенных спектры поглощения 20 из хлороформа в водную фазу в результате стереоспецифического L-энантиомерной формы КТ с молекулами взаимодействия катализатора межфазового переноса L-цистеина (1), а также спектры поглощения иКД части CdSe/ZnS к T, оставшейся в органической (2).фазе - хлороформе в обеих фазах в спектрах кругового дихроизма у КТ 25 положение появляются полосы , спектральное которых ошодох соотносится с положением электронных переходов у данных КТ.В водной фазе оказались КТ, конфигурация которых совпала с конфигурацией цистеина , при ЭТОМ в хлороформе осталась часть ΚТ из исходного ансамбля, конфигурация которых противоположна конфигурации 30 в эксперименте катализатора межфазного переноса . В используемого

10

случае водной фазы наблюдаемый нами сигнал может свидетельствовать как об индуцированной хиральности КТ, перенесенных из органической фазы с помощью L-цистеина , так и о наличие собственной хиральности КТ, усиленной взаимодействием с энантиомером данных такой же пространственной конфигурации . Совершенно противоположная ситуация для К Т, оставшихся в органической фазе. Здесь, в отличие от водной фазы, отсутствуют D-энантиомеры хиральных молекул , которые бы могли привести к появлению индуцированной хиральности у этой части КТ. Поэтому , факт появления оптической активности у части К Т, оставшихся в 10 фазе в ахиральном окружении , свидетельствует органической о наличие у ΚТ собственной хиральности возможности проведения энантиоселективного межфазного переноса неорганических коллоидных полупроводниковых ΚT.

Использование в качестве катализатора межфазного переноса D-15 цистеина также позволяет осуществить стереоспецифическое с КТ. На Фиг. 4 приведены спектры поглощения взаимодействие иКД раствора CdSe/ZnS КТ, полученного водного В результате энантиоселективного межфазного переноса CdSe/ZnS ΚТ С D-цистеина . Для сравнения на Фиг .4 также приведены использованием 20 спектры водного раствора CdSe/ZnS к T, перенесенных соответствующие из органической растворов ΚТ зеркально симметричны относительно друг друга . Аналогичная картина наблюдается и для КТ, оставшихся в органической фазе после проведенных энантиоселективных межфазных переносов, 25 спектры поглощения и КД которых представлены на Фиг. 5.

Пример 2.

5

На Фиг .б приведены спектры поглощения и КД спектры водных CdSe/ZnS растворов хиральных ΚТ, полученных В результате 30 энантиоселективного (1) и стандартного (1) межфазного переносов КТ из

11

органической фазы в водную . Для осуществления стандартной процедуры CdSe/ZnS кт 20 мг нанокристаллов , покрытых межфазного переноса ТОРО, растворялось в 1 мл хлороформа. К полученному молекулами раствору доливалось 300 мкл концентрированного раствора L-цистеина в 5 метаноле (50 мг L-цистеина на 300 мкл метанола) и смесь интенсивно перемешивалась . Добавление К раствору ΚТ хлороформе концентрированного раствора L-цистеина в метаноле приводило К замещению молекул солюбилизатора К Т (TOPO) молекулами L-цистеина . ΚТ становились В результате такого замещения нерастворимы В 10 хлороформе, что приводило к спонтанной агрегации и, как следствие к раствора . Для осаждения ΚТ ИЗ раствора образец в течение 5 минут на скорости 5000 оборотов /минуту . центрифугировался Затем полученный осадок троекратно промывался метанолом растворялся в щелочном растворе (pH = 11). Из спектров , приведенных на 15 Фиг .6, видно , что в случае энантиоселективного межфазного переноса КТ из хлороформа в водную фазу сигнал в спектре КД оказывается заметно выше, чем в случае стандартного переноса, при котором практически КТ переносятся в водную фазу. Полученные данные хорошо согласуются с наличием у КТ собственной хиральности , возникающей в процессе 20 коллоидного синтеза . Очевидно , что присутствие в ансамбле части КТ, конфигурация которых противоположна L-энантиомеру хиральной молекулы , которая используется в межфазном переносе, должна давать по знаку вклад в суммарный спектр КД образца, что противоположный будет приводить к меньшим амплитудам полос в спектре КД ансамбля КТ.

25

30

Пример 3.

работоспособности Для демонстрации предполагаемого изобретения межфазного для энантиоселективного переноса полупроводниковых (КС) в работе CdSe/ZnS КС квантовых стержней использовались синтезированные без использования хиральных реагентов по методу,

12

(M. Artemyev, B. Moller, and U. Woggon. описанному в работе Unidirectional alignment of cdse nanorods. Nano Lett., 3(4):509-512, 2003) c использованием смеси ахиральных молекул солюбилизатора оксида (ТОРО) и олеиновой кислоты (ОА). Длина и триоктилфосфин диаметр КС составляли 35 нм и 5 нм, соответственно , максимум нанокристаллов люминесценции 630 волны находился около нм, положение полосы фундаментального поглощения около 615 нм.

5

10

На Фиг .7 представлены спектр поглощения (1) коллоидного раствора К С и спектр К Д (2) в хлороформе . Отсутствие сигнала К Д в области собственного поглощения К С свидетельствует о том , что , как и в случае раствора смеси К T , данный ансамбль К C не проявляет оптической активности , т.е. является ахиральным .

В КС случае энантиоселективный межфазный перенос способом, описанным в примере 1. На Фиг. 8 приведены 15 и КД водных растворов CdSe/ZnS КС, перенесенных спектры поглощения из хлороформа в водную фазу в результате стереоспецифического взаимодействия L-энантиомерной формы КС с молекулами катализатора межфазового переноса L-цистеина (1), а также спектры поглощения части CdSe/ZnS к C, оставшейся в органической фазе - хлороформе (2). 20 Видно , что , как и в случае КТ, в обеих фазах в спектрах кругового у КС появляются полосы , спектральное положение которых хорошо соотносится с положением электронных переходов у данных КС. В водной фазе оказались КС, конфигурация которых совпала конфигурацией L-цистеина , при этом в хлороформе осталась часть КС из 25 исходного ансамбля , конфигурация которых противоположна конфигурации используемого в эксперименте катализатора межфазного переноса .

Таким образом , полученные результаты убедительно показывают, что применение предполагаемого изобретения позволяет проводить 30 энантиоселективный межфазный перенос неорганических коллоидных

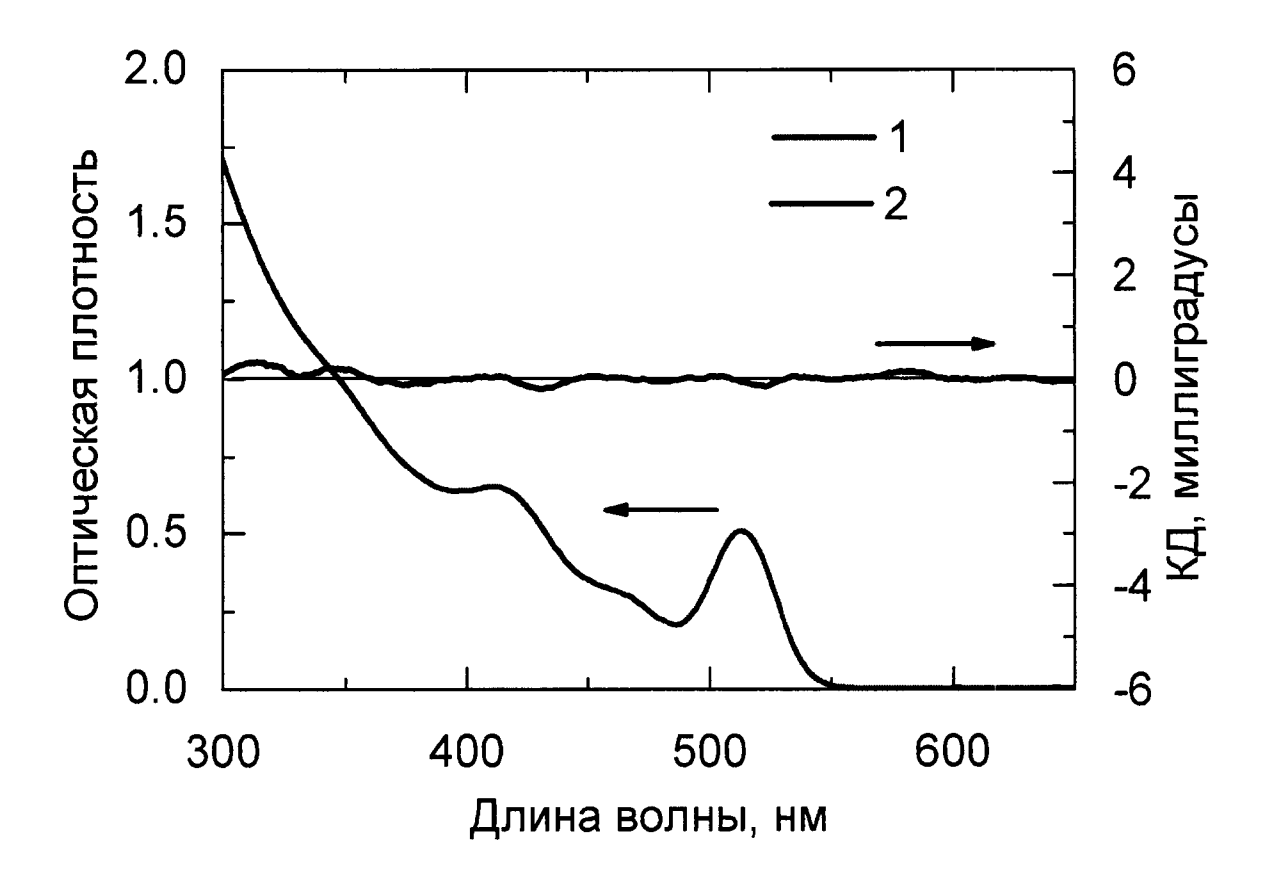
полупроводниковых нанокристаллов из органической в водную фазу с использованием в качестве катализатора межфазного переноса энантиомерной формы хиральной молекулы . В результате такого переноса в водной фазе оказывается часть нанокристаллов из ансамбля , тип хиральности которых совпадает с типом используемого при переносе энантиомера . При этом в органической фазе остаются нанокристаллы , имеющие другой тип хиральности .

14 ФОРМУЛА ИЗОБРЕТЕНИЯ

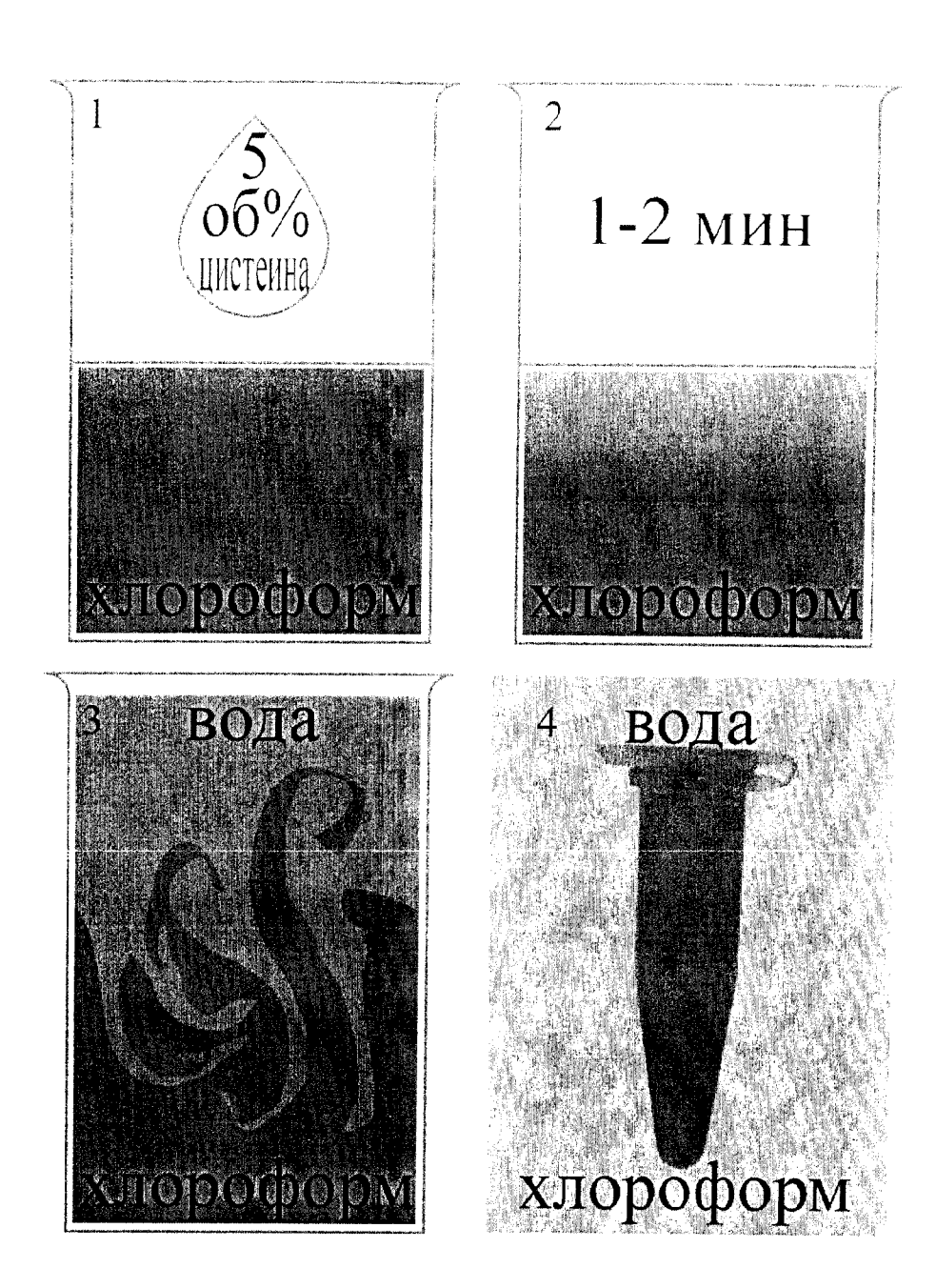
Способ межфазного переноса неорганических коллоидных нанокристаллов , заключающийся полупроводниковых в том, что 5 нанокристаллы переносят из органической в водную фазу, не смешивающуюся с органической фазой, с помощью катализатора межфазного переноса, отличающийся тем, что в качестве катализатора межфазного переноса используют энантиомеры хиральных молекул, а сам процесс межфазного переноса осуществляют при температуре В 10 промежутке $0\text{-}4^{\circ}$ C.

15

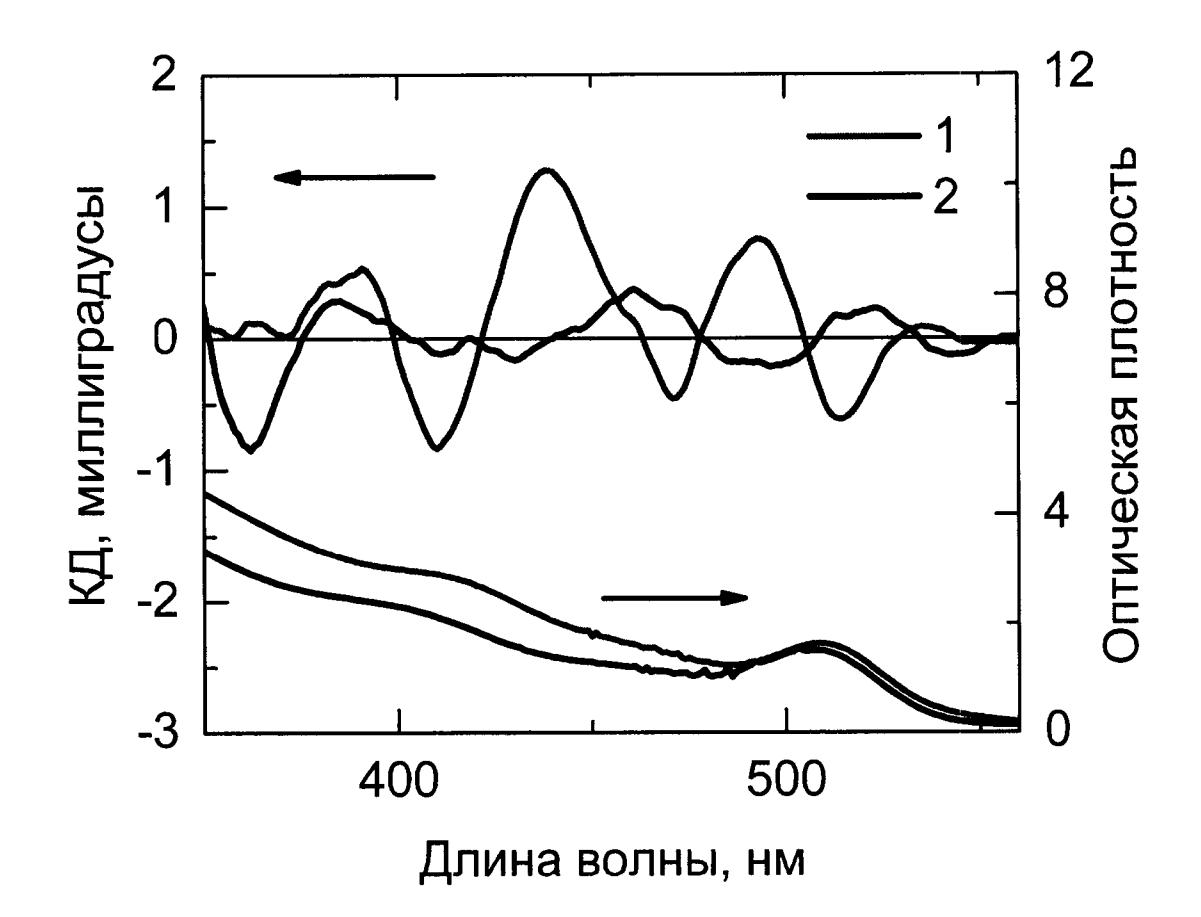
20



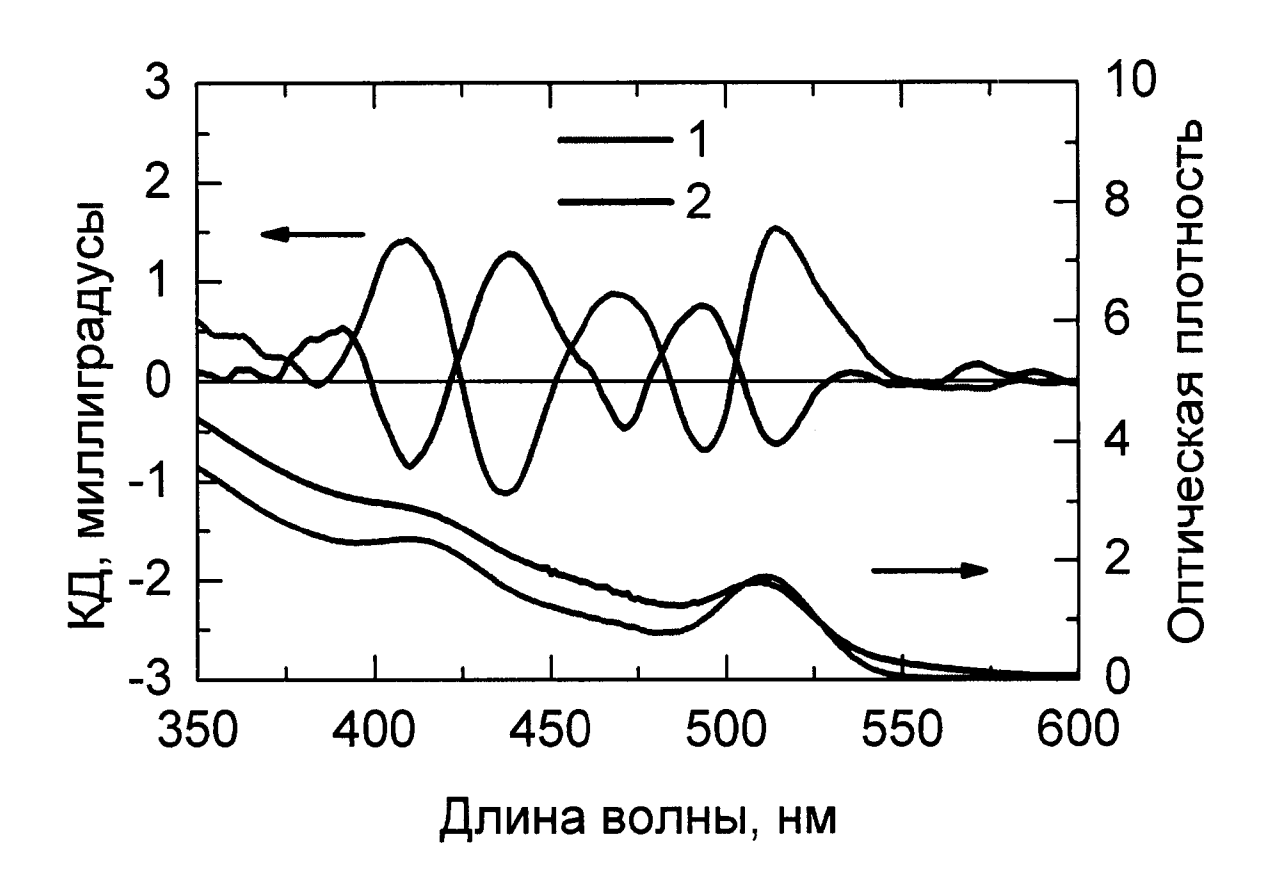
ФИГ. 1.



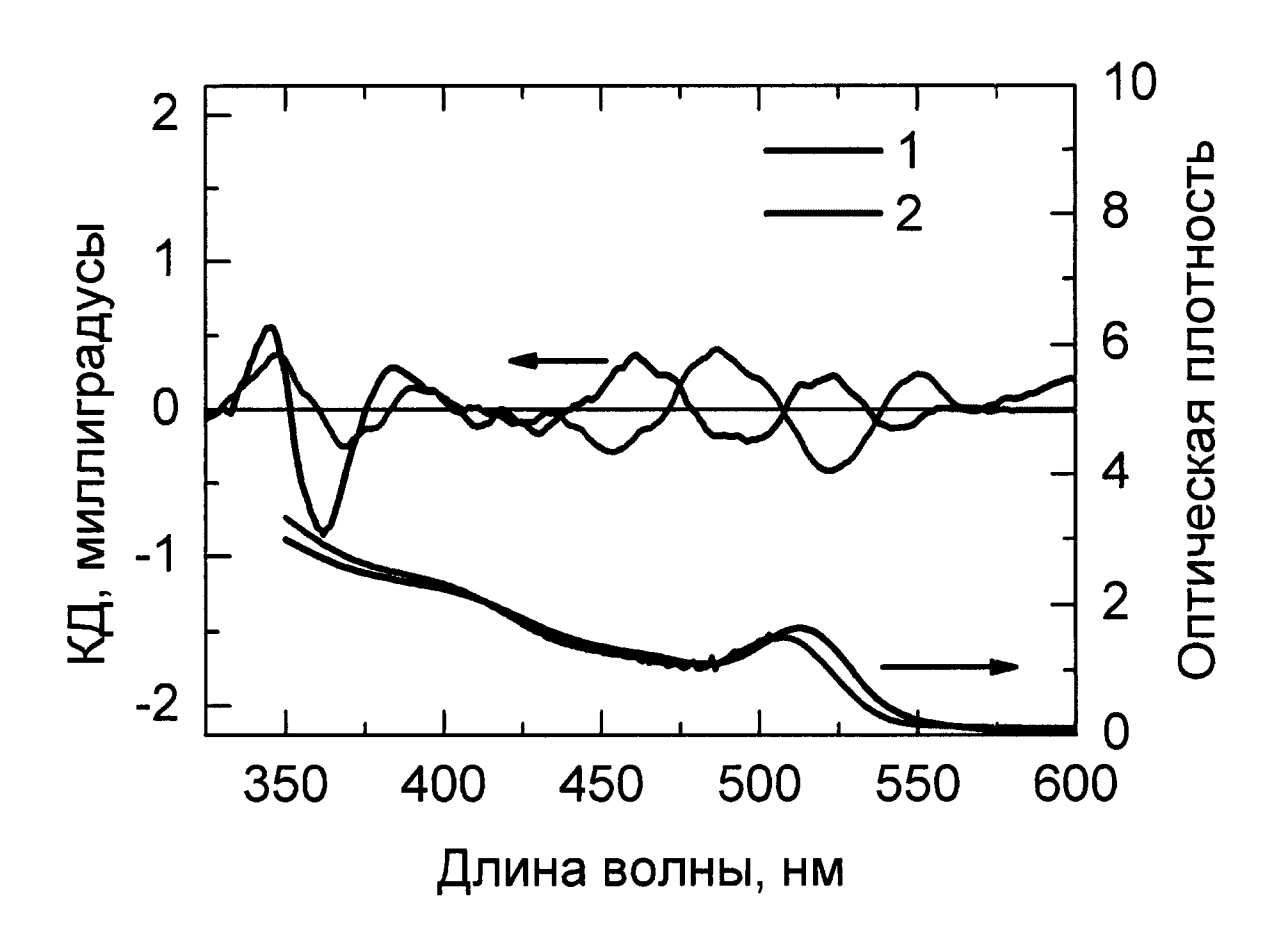
ФИГ. 2.



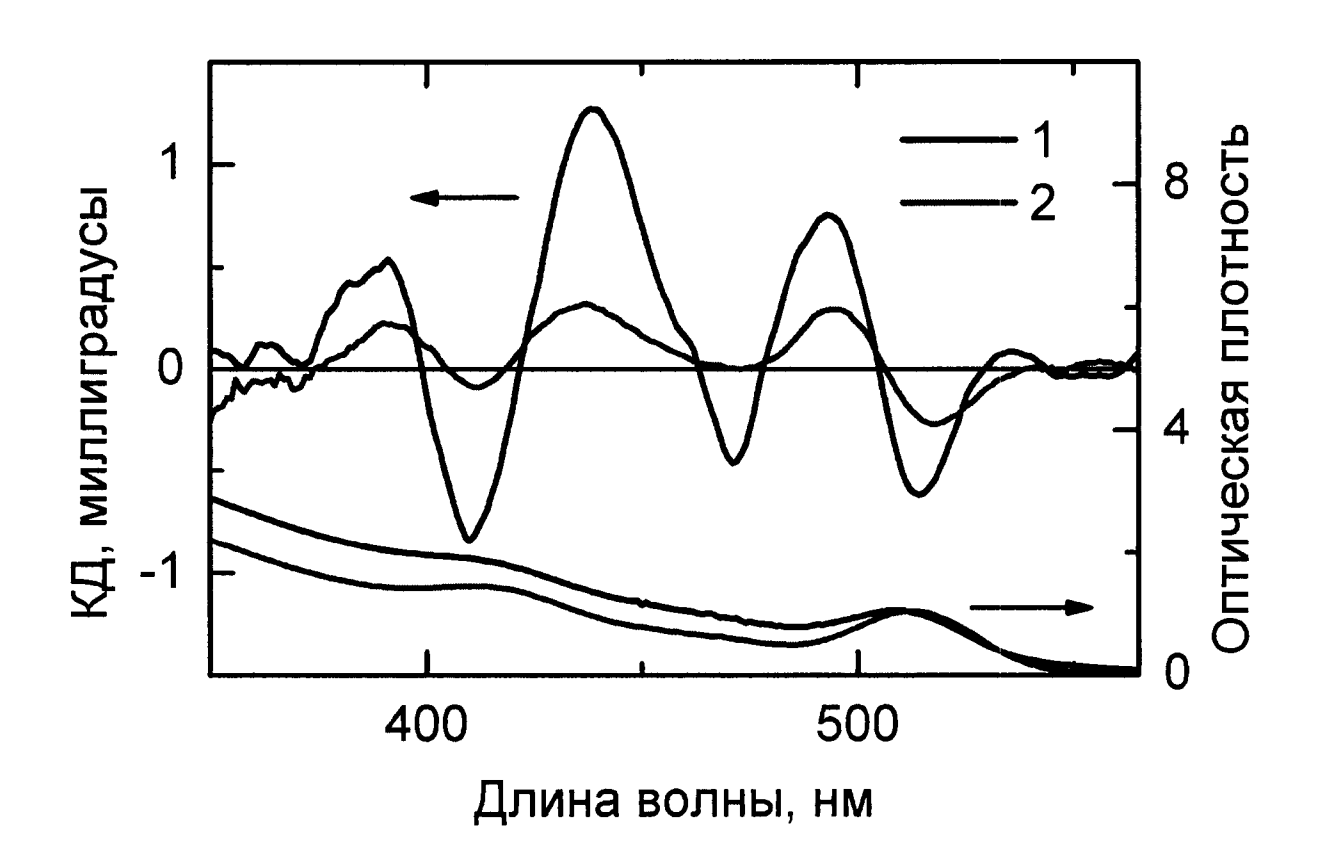
ФИГ. 3.



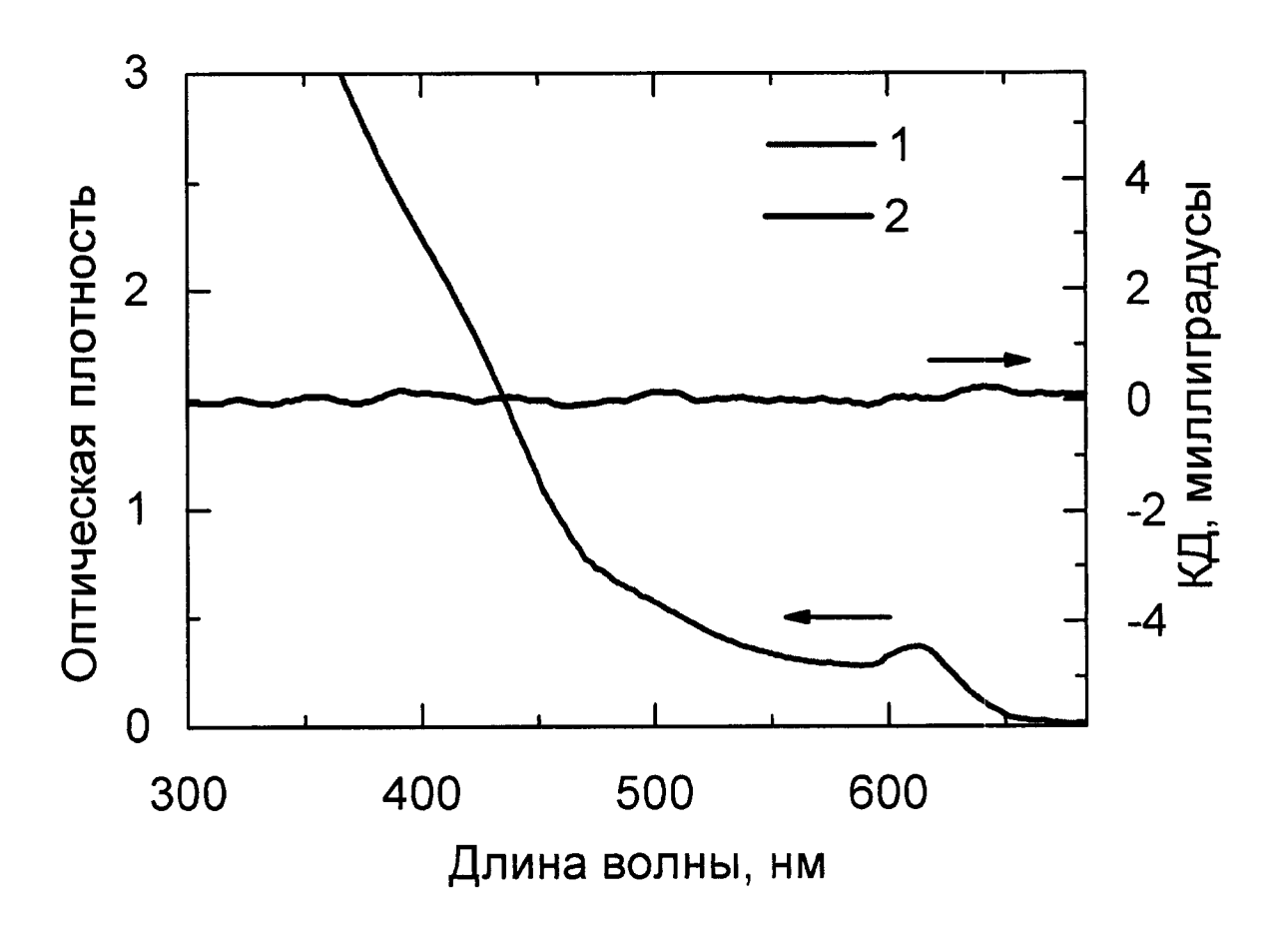
ФИГ. 4.



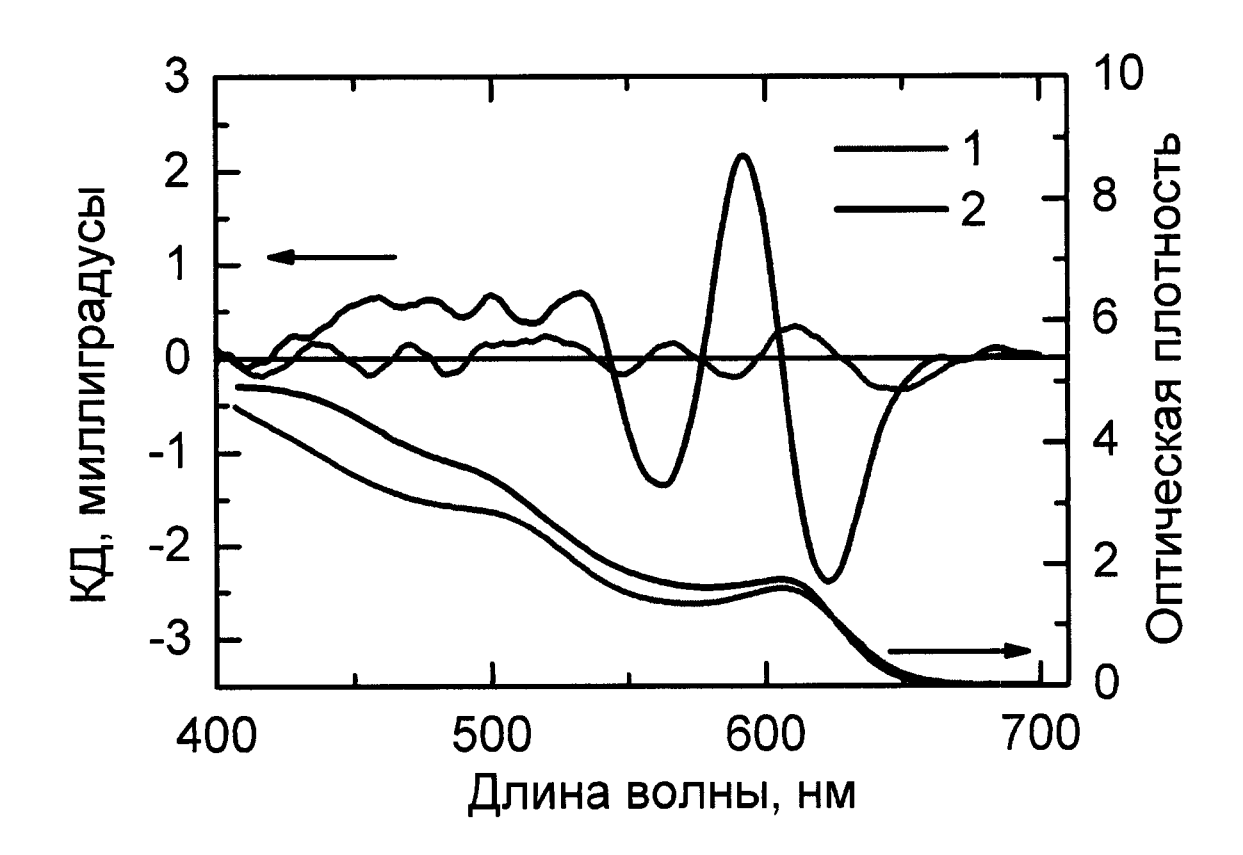
ФИГ. 5.



ФИГ. 6.



ФИГ. 7.



ФИГ. 8.

INTERNATIONAL SEARCH REPORT

International application No.

PCT/RU 2015/000013

A. CLASSIFICATION OF SUBJECT MATTER

(see additional sheet)

According to International Patent Classification (IPC) or to both national classification and IPC

B. FIELDS SEARCHED

Minimum documentation searched (classification system followed by classification symbols)

B01 J 13/00-13/22, B82B 1/00, 3/00, B82Y 5/00-99/00, C07B 57/00, 61/00, B22F 100, 1/02, 9/00-9/30, C01 B 17/20, 19/00, C01G 9/00, 9/08, 11/00, 1/02, C09K 11/08, 11/54, 11/56, 11/88

Documentation searched other than minimum documentation to the extent that such documents are included in the fields searched

Electronic data base consulted during the international search (name of data base and, where practicable, search terms used) PatSearch (RUPTO internal), USPTO, PAJ, Esp@cenet, DWPI, EAPATIS C. DOCUMENTS CONSIDERED TO BE RELEVANT Citation of document, with indication, where appropriate, of the relevant passages Category* Relevant to claim No. Α TOHGHA Urice et al. Ligand Induced Circular Dichroism and 1 Circularly Polarized Luminescence in CdSe Quantum Dots. ACS Nano. 2013 December 23; 7(12): 11094-1 1102, abstract, par. Results and discussion, Synthesis and TEM of cysteine-CdSE **GDs** Α WO 1997/024224 AI (HEATH JAMES R. et al.) 10.07.1997 1 US 8071 181 B2 (UNIVERSITY OF MANITOBA) 06.1 2.201 1 Α Α US 2006/0084705 AI (FRANK CARUSO et al.) 20.04.2006 I Further documents are listed in the continuation of Box C. See patent family annex. Special categories of cited documents: later document published after the international filing date or priority date and not in conflict with the application but cited to understand document defining the general state of the art which is not considered the principle or theory underlying the invention to be of particular relevance earlier application or patent but published on or after the international document of particular relevance; the claimed invention cannot be considered novel or cannot be considered to involve an inventive filing date document which may throw doubts on priority claim(s) or which is cited to establish the publication date of another citation or other " γ " step when the document is taken alone document of particular relevance; the claimed invention cannot be special reason (as specified) considered to involve an inventive step when the document is combined with one or more other such documents, such combination 'O" document referring to an oral disclosure, use, exhibition or other being obvious to a person skilled in the art document published prior to the international filing date but later than "&" document member of the same patent family Date of the actual completion of the international search Date of mailing of the international search report 18 June 2015 (18.06.2015) 02 July 2015 (02.07.2015) Name and mailing address of the ISA/ Authorized officer RU Facsimile No. Telephone No.

INTERNATIONAL SEARCH REPORT

International application No.

PCT/RU 2015/000013

1	
B01J 13/00 (2006.01) B82B 3/00 (2006.01) B82Y 40/00 (2011.01) C07B 57/00 (2006.01) C07B 61/00 (2006.01) B22F 1/00 (2006.01) C09K 11/54 (2006.01) C09K 11/56 (2006.01)	
C09K 11/88 (2006.01)	

PCT/RU 2015/000013

А. КЛА	АССИФИКАЦИЯ	ПРЕДМЕТА	изобретения	B01J 13/0	0 (2006.01)			
				B 82B 3/00	(2006.01)			
				B82Y 40/0	00 (2011.01)			
				с <i>07</i> в <i>57/0</i>	00 (2006.01)			
				С <i>07</i> в <i>61/0</i>	00 (2006.01)			
				B22F 1/00	(2006.01)			
				C09K 11/3	54 (2006.01)			
				C09K 11/3	56 (2006.01)			
					38 (2006.01)			
Согласно 1	Международной	патентной кла	ссификации МПК		,			
В. ОБЛАСТЬ ПОИСКА								
Проверенный минимум документации (система классификации с индексами классификации)								
B01J 13/00-13/22, B 82B 1/00, 3/00, B82Y 5/00-99/00, C 07B 57/00, 61/00, B22F 100, 1/02, 9/00-9/30, C 01B 17/20, 19/00, СОЮ 9/00, 9/08, 11/00, 1/02, C 09К 11/08, 11/54, 11/56, 11/88								
Другая про	веренная докумен							
Другая проверенная документация в той мере , в какой она включена в поисковые подборки								
Электронна	я база данных , і	использовавшая	ся при поиске (н	азвание ба	вы и, если, возможно , используемые	поисковые термины)		
		PatSearch (R	UPTO internal), U	USPTO, P.	AJ, Esp@cenet, DWPI, EAPATIS			
С. ДОКУМЕНТЫ , СЧИТАЮЩИЕСЯ РЕЛЕВАНТНЫМИ :								
	.	емые докумен			можно , релевантных частей	Относится к пункту №		
Категория	ципиру	сивс докумст	ты с указаписм , і	140 010 8031	, релевантных частей	CHOCKICA K HYRKTY 149		
Α	TOHGHA I	Trice et al Lic	and Induced Circ	ular Dichre	pism and Circularly Polarized	1		
А		-			•	1		
	Luminescence in CdSe Quantum Dots. ACS Nano. 2013 December 23; 7(12): 11094-11102, abstract, par. Results and discussion, Synthesis and TEM of cysteine-CdSE							
	GDs	ict, par. Resu	and discussion,	Synthesis	and TEM Of Cysteme-Cust			
	GD3							
A	W O 1997/02	WO 1997/024224 A1 (HEATH JAMES R. et al.) 10.07. 1997			1			
Α	A US 8071 181 B2 (UNIVERSITY OF MANITOBA) 06. 12.201 1					1		
A	US 2006/0084	1705 A.1 (EE	RANK CARUSO	at al.) 20.0	1 2006	1		
$\overline{}$	0.3 2000/008	+703 AT (IT	CARUSO	— — —	-	1		
пос	ледующие докумен	ты указаны в п	родолжении графы С		_ данные о патентах -аналогах указа 	аны в приложении		
* Ocof	бые категории ссылочн	ных документов :		"T"	более поздний документ , опубликованный	после даты международной		
"А" доку	мент , определяющий	общий уровень те	ехники и не считающийся	i	подачи или приоритета , но приведенный	для понимания принципа или		
особ	о релевантным				теории , на которых основывается изобре	тение		
"E" более ранняя заявка или патент , но опубликованная на дату "X" документ , имеющий наиболее близкое отн			THOMBINO K BOOMOTY BONCKS:					
_			ваппал падату	Α		• • • • • • • • • • • • • • • • • • • •		
	международной подачи или после нее заявленное изобретение не обладает новизной или изобретательским							
"L" доку	мент , подвергающий	сомнению притяза	ние (я) на приоритет , и		уровнем , в сравнении с документом , взя	тым в отдельности		
кото	рый приводится с цел	ью установления	даты публикации другог	-ο "γ	, документ , имеющий наиболее близкое с	тношение к предмету поиска ;		
ССЫГ	почного документа , а	также в других не	лях (как указано)		заявленное изобретение не обладает изо	бретательским уровнем , когда		
40.13								
- Acity	мент , относящийся к	устному раскрытин	, использованию ,		документ взят в сочетании с одним или			
эксп	онированию и т.д.				категории , такая комбинация документов	очевидна для специалиста		
"Р" _{доку}	¹¹ Р ³ документ , опубликованный до даты международной подачи , но после "&" документ , являющийся патентом -аналогом				DM			
даты испрашиваемого приоритета								
Дата действительного завершения международного поиска Дата отправки настоящего отчета о международном поиске					ждународном поиске			
18 июня 2015 (18.06.2015)			02 июля 2015 (02.07.2015)					
Наименовог	INE N SUDER ICA/	RII		VEO	пномоченное пило :			
Наименование и адрес ISA/RU: Уполномоченное лицо : Федеральный институт промышленной собственности ,								
Бережковская наб., $30\text{-}1$, Москва , $\Gamma\text{-}59$,					Ε.			
ГСП -3, Россия , 125993								
	5) 531-63-18, (8-	499) 243-33-37	i	Ten	ефон і№ 499-240-25-91			